



مجلة الهندسة والتنمية المستدامة

المجلد 23، العدد 5، أيلول 2019

ISSN 2520-0917

<https://doi.org/10.31272/jeasd.23.5.15>

تأثير الحجم الحبيبي على بعض الخواص الميكانيكية لمواد متراكبة بوليمرية متدرجة وظيفيا مصنعة بطريقة الترسيب تحت تأثير الجاذبية

عواد هلوش خضر¹، زينب حازم حميد الخفاف²

- (1) أستاذ مساعد، قسم الهندسة الميكانيكية، جامعة الموصل، نينوى، العراق.
- (2) طالبة ماجستير، قسم الهندسة الميكانيكية، جامعة الموصل، نينوى، العراق.

تاريخ النشر 2019/9/1

تاريخ القبول 2018/9/12

تاريخ التقديم 2017/9/17

الخلاصة: هذه الدراسة تتضمن هذا البحث إنتاج مواد متراكبة بوليمرية متدرجة وظيفيا Functionally Graded Polymer Composite (FGPCs) مادتها الاساس البولوي أستر غير المشبع (Unsaturated Polyester Resin) ومعززة بدقائق من كربيد السليكون (Silicon Carbide) (SiCp) بكسر حجمي كلي (6 Vol%) وحجوم حبيبية (53,106,150 μm) ومصنعة بطريقة الترسيب تحت تأثير الجاذبية (Gravity Casting) بدرجة حرارة الغرفة (22°C) كما وتم إنتاج أنموذج من البولوي أستر النقي وبالظروف نفسها لغرض المقارنة. ويهدف هذا البحث الى دراسة تأثير تغير الحجم الحبيبي للدقائق في القيم الموضعية للكسر الحجمي والصلادة ومعامل المرونة للنماذج المصنعة وفي نقاط محددة على طول كل أنموذج متدرج، حيث تم تقطيع كل أنموذج متدرج الى تسع (9) قطع وبسمك (8mm) وتم حساب كثافتها وتحديد كسرها الحجمي الموضعي و اختبار الشد. وتبين من نتائج البحث انخفاض القيم الموضعية للكسر الحجمي والصلادة ومعامل المرونة في النهايات العليا للنموذج وارتفاع هذه القيم في النهايات السفلى للنموذج نتيجة لتركز الدقائق (أعلى كسر حجمي موضعي مع زيادة الحجم الحبيبي للدقائق).

الكلمات الدالة: مواد متراكبة بوليمرية متدرجة الخواص، راتنج البولوي أستر غير المشبع، الصلادة، معامل المرونة

Effect of Particle Size on Some Mechanical Properties of Functionally Graded Polymeric Matrix Composite Produced by Gravity Casting

Abstract: This research include a Functionally Graded Polymeric Composite (FGPCs). These Composites were fabricated from unsaturated polyester resin as a matrix reinforced with silicon carbide particles (SiCp) of different particle size (53,106,150 μm) and (6 vol%) bulk volume fraction produced by Gravity Casting and room temprture (22°C) and produed sample from pure polyester to use it in comparsion. The aim of the present research to study effect the change in (SiCp) particle size on local value of volume fraction, hardness, and Youg modulus at specific points along the graded samples, and graded samples were cut to nine portions with thikness (8mm) and density, bulk volume fraction were calculated, then and tensile test. Results show that local values of volume fraction, hardness and Young modulus decreased in pure end samples and increased in lower end samples because in creased particles SiCp in this position.

1. المقدمة:

تعرف المواد المترابكة بأنها مواد ناتجة من اتحاد اثنين أو أكثر من المواد أو المكونات و ينتج عن هذا الاتحاد مواد تلبي بعض المتطلبات الميكانيكية والفيزيائية والكيميائية. تتكون المواد المترابكة من واحد أو أكثر من الاطوار المتقطعة (Dicotinuuous) مغمور في طور متصل (Continuous). وان الطور المتقطع عادة مايكون اصلا (Harder) واقوى (Stronger) من الطور المتصل ويسمى بالطور أو المادة المعززة (Reinforcement)، في حين الطور المتصل يسمى بمادة القاعدة أو المادة الاساس (Matrix) [1]، المواد المترابكة الخواص (FGMS) تمتلك وظائف مختلفة (Different function) والتي تتميز بالتوزيع المختلف للخصائص على سبيل المثال الصلادة (Hardness) ومعامل يونك (Youngs Modulus) ومقاومة السوفان (Wear resistance) ومعامل التمدد الحراري (Thermal expansion Coefficient) ومن الممكن استعمال خليط مختلف من المواد الهندسية مثل المعادن (Metals) والسيراميك (Ceramics) والبوليمرات (Polymer). اما المواد المترابكة البوليمرية المترابكة الخواص (FGMP) هي نوع من المواد المترابكة المترابكة الخواص (FGMs) التي يكون فيها احد المكونات على الاقل بوليمير واحد [2] ، وتعد طريقة الترسيب تحت تأثير الجاذبية من الطرق المستعملة في انتاج المواد المترابكة التي تعتمد على الجاذبية وبدون استعمال أي ضغط خارجي ، ومن الممكن انتاج مواد ذات توزيع مكاني متدرج للمكونات بوساطة السباكة وبصورة عامة فان الفحوصات التي تجري على المواد هي فحوصات اتلافية (تدميرية) او فحوصات لاتلافية (لاتدميرية) ، وبالرغم من ان الفحوصات الاتلافية هي الاكثر شيوعا في فحص المواد الهندسية الا ان الفحوصات اللا اتلافية التي مازالت محدودة الاستعمال تعد احدى الوسائل الفعالة للسيطرة على جودة المنتجات اذ تتميز هذه الفحوصات بشموليتها في تقييم خواص عديدة وبسرعة القيام بها وكلفتها القليلة وامكانية اجرائها موقعا ومخاطرها اقل من الفحوصات الاتلافية [3]. قام الباحث (j . stabik , 2010) وزملاؤه بانتاج مواد مترابكة بوليمرية مترابكة الخواص حيث قام بتحضير ثمان نماذج بطريقة الترسيب تحت تأثير الجاذبية وكانت من المادة الاساس راتنج الايبوكسي معززة بالياف من الفحم الصلب بكسور حجمية (% 9 , 6 , 3 and 12%) حيث قام بدراسة الخصائص الكهربائية للمادة مترابكة الخواص ، وظهرت النتائج العملية بان اضافة الالياف الموصلة من الفحم الصلب الى راتنج الايبوكسي يسبب في تغير المقاومة السطح لتلك المواد والفحم الصلب مع راتنج الايبوكسي يشكل مادة مترابكة باختلاف الالياف المحتوية في الطبقات المتتالية [4].

وجدت الباحثة (Dr.Khansaa,2014) وزملائها زيادة في صلادة النماذج المصنعة من البولي استر غير المشبع والمعززة بدقائق كاربيد البورون بحجم حبيبي (25µm) وبكسور وزنية (% 10,20,30,40,50)، حيث تم استخدام جهاز (Shore Durometer) نوع (Shore D) الخاص بقياس صلادة المواد البوليمرية (Thermosetting Polymer) المصلدة حراريا. وتم الاعتماد على اخذ ست قراءات في اماكن مختلفة من سطح العينة وايجاد معدل لست قراءات لكل حالة للحصول على دقة عالية بالنتائج. حيث يتضح بان قيم الصلادة لمادة البولي استر غير المشبع تزداد باضافة دقائق كاربيد البورون وتستمر الصلادة بالزيادة مع زيادة الكسر الوزني [5]. إن الهدف من هذا البحث هو دراسة تأثير تغير الحجم الحبيبي لدقائق كاربيد السليكون على الخصائص الميكانيكية الصلادة ومعامل المرونة .

2. الجانب العملي

1.1.2 المواد المستخدمة Materials

تم استخدام جزئين رئيسيين من المواد في هذا البحث المادة الاساس (Matrix) والمادة المعززة (Reinforcement)

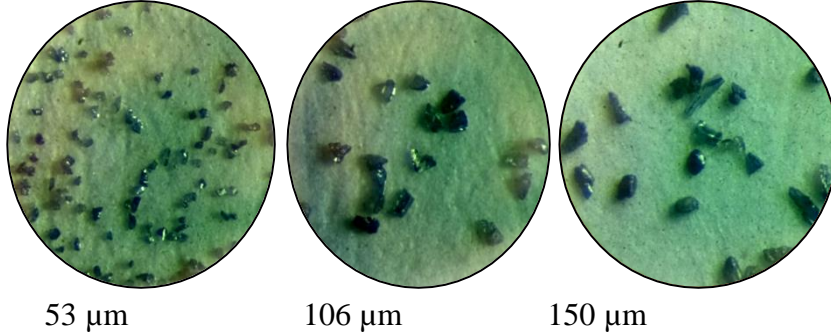
1.1.2 المادة الاساس Matrix

تم استخدام البولي استر غير المشبع (Unsaturatal Polyester Resin UPR) والمصنع من قبل الشركة التركيبية (Poliya Composite Rrsins and Polymers,Inc) ونوعه (Polipol3455)، وهو من البوليمرات المصلدة حراريا ويخلط مع المصلد بيروكسيد ميثيل كيتون (Methyl Ethyl Ketone Peroxide)

(MEKP) والمصنع من قبل الشركة التركية (Akpa Organic Peroxides, Initiators & Paint Driers) ونوعه (Akperox A1) ويخلط وبنسبة (2gm) المصلب لكل (100 gm) من راتنج البولي استر غير المشبع [6]

1.2.2. المادة المعززة Reinforcement

تم استعمال دقائق كربيد السليكون (Silicon Carbide) كمادة معززة رمزها الكيميائي (SiC) وتعرف تجاريا باسم كربورندم (Carborundum) والشكل (1) يوضح الصور المجهرية المستعملة في البحث.



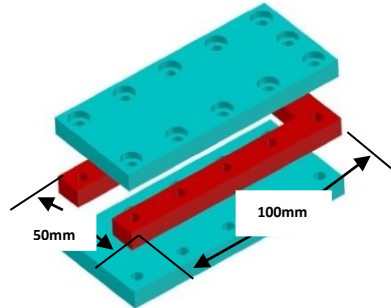
الشكل (1) يوضح صور مجهرية للدقائق المستعملة في البحث (X 80)

2.2 كثافة المواد المستعملة في البحث Materials Density Determination

لغرض معرفة كثافة المواد المستعملة في تصنيع النماذج المتدرجة الخواص FGM تم حسابها عمليا ووجد كثافة كربيد السليكون (3.1 g/cm) وكثافة راتنج البولي استر غير المشبع تساوي (1.21 g/cm) وكثافة المصلب بيروكسيد ميثيل أثيل كيتون تساوي (1.17 g/cm) عند درجة حرارة الغرفة (22C°) وضغط جوي اعتيادي.

3.2 تصميم القوالب Molds Design

من اجل انتاج مواد متراكبة متدرجة الخواص تم استعمال خمسة قوالب مصنوعة من مادة الاكرلك الشفاف يتكون هذا القالب من ثلاث طبقات العليا والسفلى مصنوعة بشكل مستطيل والطبقة الوسطى تحتوي على الاخاديد التي سوف تشكل الانموذج. وترتبط الطبقات الثلاثة لتشكيل القالب النموذج حيث توجد فتحة لدخول المزيج الى الطبقة الوسطى ويوضع القالب بشكل عاموديا عند الصب، والشكل (2) يوضح القالب المستعمل.



الشكل (2) يوضح القالب المستعمل

4.2 تهيئة القالب

قبل عملية الصب الخليط يتم عزل القالب حيث يتم بوضع طبقة رقيقة شفافة مصنوعة من مادة البولي فينيل الكحول (PVA) لمقاومة الحرارة المتولدة من تفاعل الراتنج مع مصلبه وذلك لان التفاعل باعث للحرارة

(Exothermal) توضع هذه الطبقة في الطبقة العليا وفي الطبقة السفلى والغرض من العزل يوفر اسطح ملساء و صقلية للمنتج النهائي ويضمن استخراج العينات بعد تصلبها من داخل القالب بدون كسرها او احداث اضرار بالقالب اضافة الى ذلك فان الطبقة الوسطى تطلّى جوانب الاخاديد بطبقة رقيقة من الكريز (Release Agent) حيث تضمن منع التصاق سطح الانموذج وقاعه بالقالب ولعزل جوانب الأنموذج تطلّى جوانب الأخاديد في الطبقة الوسطى بطبقة رقيقة من الفازلين، والشكل (3) يوضح طريقة عزل القالب [7][8][9].



الشكل (3) يوضح طريقة عزل القالب

5.2 عملية تحضير وصب النماذج

لغرض انتاج مواد متراكبة متدرجة الخواص (FGM) وبعد اختيار الكسر الحجمي المناسب والحجم الحبيبي المناسب بعد عملية الغربلة في مختبر الرمل حيث تمر عملية التحضير بعدة مراحل وتشمل :

1.5.2 خلط الراتنج بالدقائق *Mixing Resin With Particles*

بعد حساب وزن كل مكون من المكونات الانموذج يتم خلط الراتنج (Resin) لوحده مع الدقائق يدويا لمدة خمس دقائق لضمان ترطيب كافة اسطح الدقائق بالراتنج وبسرعة بطيئة لتلافي دخول فقاعات الهواء داخل المزيج [5][10][11].

2.5.2 إزالة فقاعات الهواء *Degassing*

من الضروري التخلص من الفقاعات الهوائية لما لها تأثير في تحديد الخواص الميكانيكية وتغير قيم سرع الموجات فوق الصوتية وقيم الاضمحلال نتيجة انعكاس الموجات فوق الصوتية من على سطحها وتشتتها، ويمكن إزالة الفقاعات الهوائية وذلك و بعد إكمال خلط الراتنج بالدقائق وتقليل لزوجة الراتنج توضع علب خلط النماذج في وعاء محكم الغلق ويتم إفراغه من الهواء عن طريق ربطه بجهة السحب من ضاغط كهربائي وتستمر هذه العملية لمدة ساعة كاملة تبقى فيها علب الخلط الحاوية على الراتنج والدقائق داخل هذا الوعاء والشكل (4) يوضح الاسلوب المتبع [12][13].



الشكل (4) يوضح الاسلوب المتبع

3.5.2 خلط المزيج بالصلب

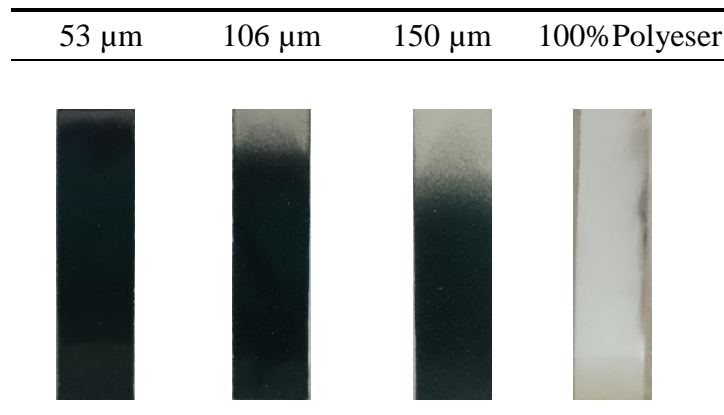
بعد الحصول على مزيج خالي من الفقاعات الهوائية يتم اضافة المصلب مع التحريك البطي جدا لمدة خمس دقائق لتجنب دخول قاعات هوائية مرة ثانية [5][12].

4.5.2 صب المزيج بالقالب

يصب المزيج الخالي من الفقاعات الهوائية في القالب ويكون بوضع عامودي ويترك لمدة (24) ساعة لضمان اكتمال الربط التشابكي و تصلب النماذج داخل القالب وبعدها يتم فتح القالب واستخراج النماذج كما في الشكل (5) [9][14].

6.2 المعالجة الحرارية للنماذج

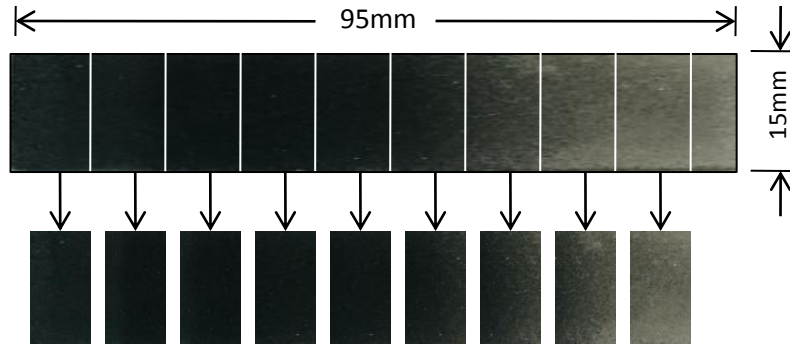
توضع النماذج بعد استخراجها من القالب في فرن كهربائي درجة حرارته (55°C - 60) ولمدة ساعتين لاكمال عملية البلمرة وازالة الاجهادات المتولدة في النماذج نتيجة التصلب ، وضعت النماذج في فرن كهربائي من انتاج شركة (Electric Muffle) الكورية موديل (RKB101) يتم السيطرة على درجة حرارته الكترونيا وبعدها يتم اخراج النماذج من الفرن ويتم توحيد ابعادها [15].



شكل (5) يوضح نماذج المواد المترابطة المتدرجة الخواص المصنعة في هذا البحث، حيث يوضح توزيع دقائق كربيد السليكون على طول النموذج بطريقة الترسيب تحت تأثير الجاذبية.

7.2 تقطيع النماذج المتدرجة الخواص

تم تقطيع كل نموذج من النماذج المتدرجة المصنعة في الشكل (6) الى (9) قطع وبعرض (8mm) كما في الشكل (6) واعتبرت القطعة ضمن هذا السمك متجانسة تقريبا لعدم وجود اختلاف في توزيع الدقائق خلالها واعتبار الكسر الحجمي ضمن هذا السمك ثابت [16].



الشكل (6) يوضح تقطيع النماذج المتدرجة الخواص

8.2 ايجاد الكثافة والكسر الحجمي الموضعي

تم حساب قيم الكثافة لكل قطعة من القطع وبالاعتماد على المواصفة القياسية [16]. بعد إيجاد كثافة كل قطعة من قطع كل نموذج متدرج تم حساب لأكسر الحجمي للدقائق بالاعتماد على قانون الخلط Mixing of Rule

$$\rho_c = V_m \rho_m + V_p \rho_p \quad (1)$$

إذ ان ρ_c يمثل كثافة المادة المترابطة ، وان ρ_m يمثل كثافة مادة الاساس (البولي استروالمصلد) بعد تصلبها ، وان ρ_p يمثل كثافة دقائق كربيد السليكون (Sic) ، وان V_m يمثل الكسر الحجمي لمادة الاساس ، وان V_p يمثل الكسر الحجمي لدقائق كربيد السليكون وبما ان :

$$V_m + V_p = 1 \quad (2)$$

ومن المعادلة (1) والمعادلة رقم (2) نستطيع ايجاد الكسر الحجمي لدقائق كربيد السليكون لكل قطعة من القطع كل نموذج مواد مترابطة متدرجة الخواص وكما ي المعادلة التالية :

$$V_p = \frac{\rho_c - \rho_m}{\rho_p - \rho_m} \times 100\% \quad (3)$$

حيث يتم قياس كل من دقائق كربيد السليكون ρ_p والبولي استر ρ_m بصورة عملية .

9.2 الفحوصات الميكانيكية الاتلافية والاتلافية






1.9.2 اختبار الصلادة (Shore D) Hardness







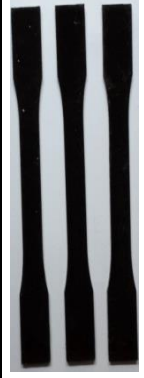



تم قياس صلادة النماذج المتدرجة ولكل قطعة حيث تم الاعتماد على اخذ معدل ثلاث قراءات من كل وجهي النموذج من جهتي التقطيع باتجاه السمك وباستعمال جهاز (Shore Durometer) ونوعه (Shore D) الخاص بقياس صلادة المواد البوليمرية المصلدة حراريا (Thermosetting Polymer)، ووفق المواصفة القياسية [14]. والجهاز مشابه للبوصله ويحتوي على ابرة في المنتصف وتتضمن طريقة الفحص وضع الجهاز بصورة عمودية

على العينة المراد قياس الصلادة لها بحيث يكون مماسا لسطح العينة المراد قياس صلابتها لكي تغرز الابرة في سطح المادة ثم يتم الانتظار مدة ثلاثة ثواني بعدها يتم اخذ قيمة الصلادة من الجهاز ويجب ان يكون سطح العينة مستوي جدا وصقيل [15][17].

2.9.2 اختبار الشد Tensile Test

إن من أكثر قياسات الإجهاد – الأنفعال شيوعا هو اختبار الشد ولإجراء هذا الاختبار تم تصنيع ثلاث عينات متجانسة [6] وحسب الأبعاد المطلوبة لعينة الشد القياسية والمتساوية من حيث الكسر الحجمي والحجم الحبيبي لقطع مختارة على طول الانموذج . لقد استخدم جهاز الشد (United Tensile Test) وتم تسليط حمل مقداره على العينات (4KN) وبمعدل انفعال (3mm/min) وفق المواصفة القياسية [18] لإجراء اختبار الشد والخاصة بفحص المواد البلاستيكية المعززة وغير المعززة كما وان ابعاد عينة الشد وفق هذه المواصفة [17]. ولغرض اجراء فحص الشد تم تصنيع ثلاث عينات من مواد متراكبة متجانسة (Homogeneous) مادتها الأساس هي المادة نفسها المستعملة في تصنيع المواد المتراكبة متدرجة الخواص وكما في الشكل (8) ومدعمة وبصورة متجانسة بدقائق كربيد السليكون المستخدمة في تدعيم النماذج المتراكبة المتدرجة الخواص المصنعة وفق الكسر الحجمي الموضوعي والحجم الحبيبي لكل قطعة وعلى طول كل أنموذج متدرج من النماذج. أخذ معدل ثلاث عينات لكل نقطة فقط، لقد تم تصنيع عينات اختبار الشد المتجانسة وفق الكسر الحجمي الموضوعي للنقاط عند (1, 3, 5, 7, 9 cm) وللنماذج ذات الكسر الحجمي (6%) . وتم التصنيع بنفس الطريقة وتحت نفس الظروف التصنيعية التي تم فيها تحضير نماذج المواد المتراكبة متدرجة الخواص والموضحة سابقا في الجانب العملي . والشكل (7) يوضح عينات الشد المصنعة ومواصفات كل عينة بعد اكتمال تصنيعها واخراجها من الفرن الكهربائي لغرض المعالجة الحرارية. تم اجراء اختبار الشد للعينات المتجانسة والموضحة في الشكل (7) وايجاد معامل المرونة لكل عينة ، حيث تم اخذ معدل معامل المرونة لثلاث عينات متجانسة ومتساوية في الكسر الحجمي سوف يمثل معامل المرونة في الموضع على طول النموذج المتدرج له نفس الكسر الحجمي والحجم الحبيبي للعينات المتجانسة [6][19] .

Local Volume Fraction		9.9	8.5	7.2	6.9	6.7
Position from lower end		9	7	5	3	1
Bulk Volume Fraction 6 %	Particle Size 53 µm					
		Local Volume Fraction	25.3	8.1	5.5	4.9
Position from lower end		9	7	5	3	1

Bulk Volume Fraction 6 %	Particle Size 106 μm					
		Local Volume Fraction	34.9	7.8	4.8	2.8
Position from lower end		9	7	5	3	1
Bulk Volume Fraction 6 %	Particle Size 150 μm					
		Local Volume Fraction	34.9	7.8	4.8	2.8
Position from lower end		9	7	5	3	1

شكل (7) يوضح النماذج المتجانسة لاختبار الشد Tensile Test بكسر حجمي 6% وبحجوم حبيبية مختلفة (53,106,150)

3. النتائج والمناقشة

1.3 تأثير الحجم الحبيبي في الكسر الحجمي الموضعي

نلاحظ في الشكل (8) توزيع دقائق كربيد السليكون في مادة الاساس البولي استر توزيع متجانس نتيجة عملية الخلط وبعد صب الخليط في قالب الصب ونتيجة قوة الجاذبية نلاحظ ترسيب الدقائق ويؤدي الى توزيع الدقائق بصورة غير متجانسة و متدرجة وبشكل يختلف وفق الكسر الحجمي الكلي والحجم الحبيبي للدقائق المستعملة، و بالتالي فان هذه الدقائق اصبح لها تركيز مختلف من موضع الى اخر على طول الانموذج المتدرج بفعل قوة الجاذبية . ويوضح الشكل (8) تمركز دقائق كربيد السليكون عند النهايات السفلى Lower end للنماذج و حدوث توزيع متدرج لدقائق كربيد السليكون (SiC) عند استخدام الكسر الحجمي 6% مع استخدام الحجوم الحبيبية الثلاثة (53,106,150 μm)، ويزداد التركيز عند النهايات السفلى مع زيادة الحجم الحبيبي وذلك لكون الكسر الحجمي الكلي المستعمل في هذه النماذج (6%) وبفعل لزوجة لمزيج البولي استر والدقائق حيث تنشأ قوة معاكسة لقوة الجاذبية Drag force والناشئة بسبب لزوجة مزيج البولي استر ودقائق كربيد السليكون و اكبر محصلة قوة في الدقائق المتجهة نحو الاسفل مما ادى حركة الدقائق بسهولة وبسرعة وتجمعها عند النهايات السفلى .

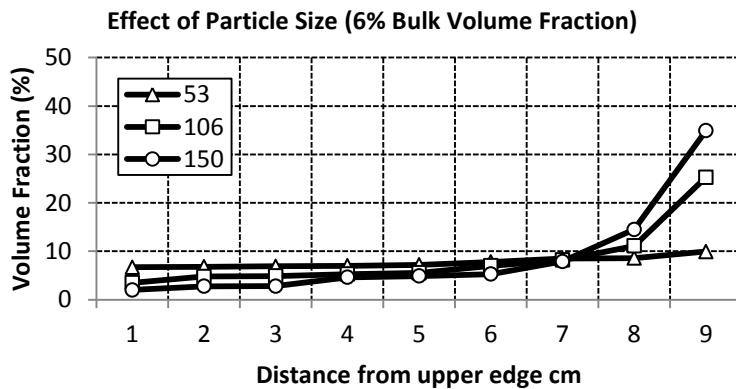
2.3 الصلادة

تم الاعتماد على اخذ معدل ثلاث قراءات من كل من جهتي النموذج ومن جهتي التقطيع باتجاه السمك وعند المواضع المختارة لنفس النموذج المتدرج . ويبين الشكل(9) تأثير الحجم الحبيبي لدقائق كربيد السليكون في نماذج مواد متراكبة متدرجة الخواص عند كسر حجمي (6%) على معدل قيم صلادة شور الموضعية كما ويبين عند

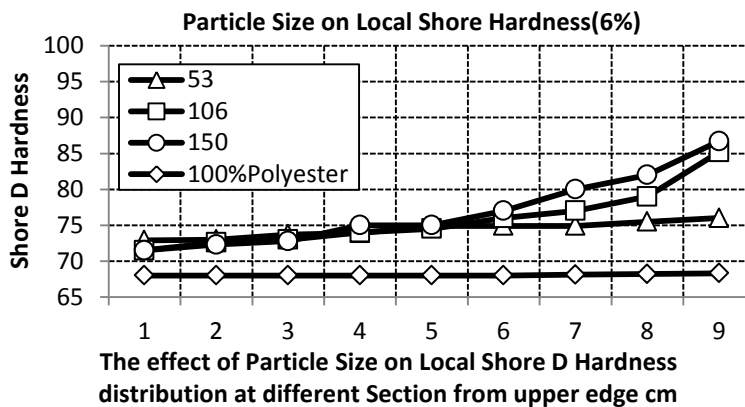
زيادة الحجم الحبيبي يقل معدل صلادة شور الموضعية في النهايات العليا من النموذج في حين يزداد هذا المعدل في النهايات السفلى ويعود السبب في ذلك الى حركة دقائق كربيد السليكون الى الاسفل متأثرة بقوة الجاذبية، وان هنالك تغيرا واضحا في قيمة معدل صلادة شور الموضعية نتيجة تغيير الحجم الحبيبي للدقائق عند ثبوت الكسر الحجمي له. ان قيم معدل الصلادة شر الموضعية للنماذج الثلاثة وبغض النظر عن الحجم الحبيبي للدقائق المستعملة هي اكبر من قيم صلادة شور الموضعية للنموذج البولوي استر النقي .

3.3 معامل المرونة

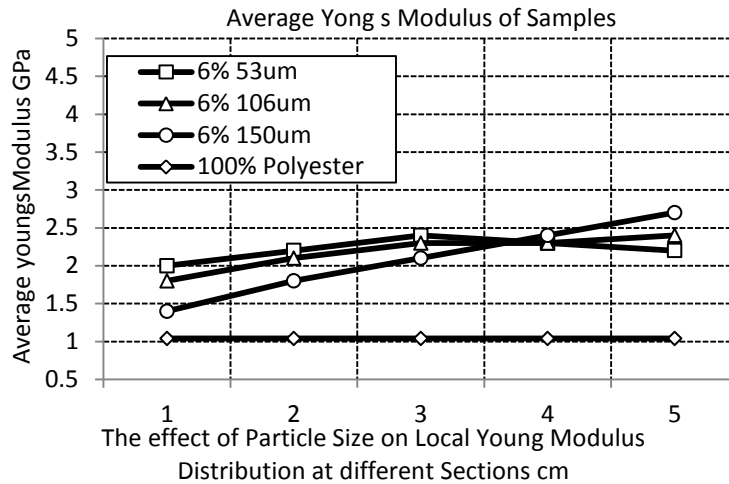
يبين الشكل (10) انخفاض معدل مرونة الشد الموضعي في الاجزاء العليا من النموذج وارتفاعه في النهايات السفلى من القالب مع زيادة الحجم الحبيبي ويعود السبب في ذلك الى حركة دقائق كربيد السليكون نحو النهايات السفلى متأثرة بقوة الجاذبية وبالتالي يؤدي ذلك الى زيادة الكسر الحجمي الموضعي في تلك النهايات ولهذا فإن مقدار الزيادة والنقصان في الكسر الحجمي الموضعي تؤدي الى زيادة ونقصان في معامل المرونة الموضعي. نلاحظ من الشكل (10) ان الحجم الحبيبي ($150\mu\text{m}$) له اعلى معدل معامل مرونة عند الكسر الحجمي الموضعي (34.9%) وصل قيمته (2.7GPa). كما ويلاحظ أنقلابا في قيم معامل المرونة في المقطع الرابع والذي يليه للحجم الحبيبي الكبير $150\mu\text{m}$ اثناء المقارنة نتيجة تركيز الحبيبات في المقاطع السفلى وسرعة ترسبها تحت تأثير الجاذبية قبل الوصول الى الحالة الهلامية. كما وان قيم معامل المرونة الوضعي والنماذج الثلاثة وبغض النظر عن الحجم الحبيبي للدقائق المستعملة هي اكبر من قيم معامل المرونة الموضعي للنموذج المصنوع من البولوي استر النقي ويعود السبب في ذلك الى امتلاك دقائق كربيد السليكون (SiCp) معامل مرونة عال يصل الى (400GPa) مقارنة مع معامل المرونة لمادة الاساس (1.123) [6].



الشكل (8) يوضح الحجم الحبيبي في الكسر الحجمي الموضعي



الشكل (9) يوضح تأثير الحجم الحبيبي للدقائق SiC في قيم صلادة شور



الشكل (10) يوضح تأثير الحجم الحبيبي في معامل المرونة لنماذج بكسر حجمي كلي (6%)

3. الاستنتاجات

- 1- تنخفض قيم الكسر الحجمي الموضعي والصلادة ومعامل مرونة الشد الموضعي مع زيادة الحجم الحبيبي في النهايات العليا من النموذج .
- 2- ترتفع قيم الكسر الحجمي الموضعي والصلادة ومعامل الشد الموضعي مع زيادة الحجم الحبيبي للدقائق في النهايات السفلى من النموذج .
- 3- معدل قيم الصلادة ومعامل المرونة للنماذج المعززة وبغض النظر عن الحجم الحبيبي للدقائق المعززة هي اعلى من قيم الصلادة ومعامل المرونة للنموذج المصنع من البولي استر النقي .

5. المراجع

1. Robert M. Jones .(1999)."*Mechanics of Composite Materials*", scripta Book Co, Washington D.C, USA.
2. J.Stabik,A.Dybowska.(2007)."*Methods of preparing polymeric Gradient Composites* " Journal of Achievements in Materials and Manufacturing Engineering ,Vol. 25,NO.1
3. Geoff Eckold.(1995)."*Design and Manufacture of Composite Structure* ", Woodhead Publishing LTD, Cambrige, England.
4. J.Stabik , M.Szczepanik , A. Dybowska , t.suchon. (2010). "*Electrical Properties of polymeric gradient materials based on epoxy resin filled with haed coal* " Journal of Achievement in materials and Manufacturing Engineering ,Vol. 38,No.1.
5. Dr.Khansaa D.Salman , Sbah noori , Ahlam abd alamer, Layth H.Mahmmod.(2014). "*Studying The Mechanical Properties of Unsaturated Polyesters- B4C System*",The Iraqi Journal for Mechanical and Material Engineering,Vol. 14,No.1.
6. R.J.Butcher,C.E.Rousseau And H.V.Tippur.(1999)."*AFunctionally Graded Particulate Composite Preparation , Measurements And Failure Analysis*",Elsevier Science,Vol. 47,No.1,pp. 259-268.
7. عبير فاروق عباس، سحر حسين احمد "دراسة الخواص الحرارية لمادة متراكبة ذات اساس بوليميري مدعمة بدقائق النحاس".(2010).مجلة الهندسة والتكنولوجيا، المجلد 28، العدد 18، الصفحات 880-893.
8. رعد حسين محمد الجنابي، (2004). "دراسة تأثير ظروف التجوية الاشعاع والمحاليل الكيميائية على بعض خصائص متراكبات الايبوكسي"، رسالة ماجستير، الجامعة التكنولوجية.

9. مسار نجم عبيد "تأثير اضافة الزجاج الشموع التالفة على بعض الخواص الميكانيكية للبولي استر".(2013). مجلة بابل، العلوم الهندسية، المجلد 21، العدد 3.
10. W. Bolton, " *Engineering Materials Technolog*".(1998). butterworth – Heinemann, Third edition.
11. زاهر شاكر السلمان ، ارشد محمد مصطفى .(1979). " الفحص الهندسي ي المنشآت النفطية" اعداد قسم السلامة والتفتيش في مصفى الدورة – بغداد .
12. هناء عزيز سميح.(2011). " تأثير التقوية بمسحوق اوكسيد الزنك على الخواص الميكانيكية لمادة متراكبة ذات اساس من البولوي استر غير المشبع " مجلة الهندسة والتكنولوجيا، المجلد 29، العدد 10، الصفحات 474 - 484
13. د.علي حسين عتيوي، ليث وضاح اسماعيل ،اسيل محمود عبد الله.(2012). "دراسة بعض الخواص الميكانيكية لمادة بوليمرية مقواة بربايش ومسحوق النحاس "مجلة الهندسة والتكنولوجيا، المجلد 18، العدد 5، الصفحات 113-103
14. ASTM D2240-02.(2002). "Standard Test Methods for Rubber Property Durometer Hardness" ASTM International, West Conshohocken, PA,USA.
15. انعام وادي وطن "دراسة الخواص الميكانيكية والحرارية للبولوي استر غير المشبع والمدعم بدقائق سيراميكية".(2009). قسم الفيزياء، كلية تربية ابن الهيثم ،جامعة بغداد.
16. Nikhil Gupta, Pradeep K. Rohatgi , Takuya Matsunaga.(2009). "Compressive and Ultrasonic properties of polyester/fly ash composites" JMater Sci, Issue 44, pp.1485-1493.
17. د. سهامة عيسى صالح، كاظم مطر شبيب، قحطان عدنان.(2010). "دراسة الخواص الميكانيكية لمواد متراكبة ذات اساس بوليمري مقواه بالالياف والدقائق"مجلة الهندسة والتكنولوجيا، المجلد 28، العدد 4، الصفحات 81 - 93
18. ASTM D638-02a.(2002). " Standard Test Method for Tensile Properties of Plastics" ASTM International, West Conshohocken, PA,USA.
19. Prabhakar R. Marur ، Haresh V. Tippur .(1998). "Evaluation of Mechanical Properties of Functionally Graded Materials" Journal of Testing and Evaluation ، JTEVA, Vol. 26, No. 6, pp. 593-545.